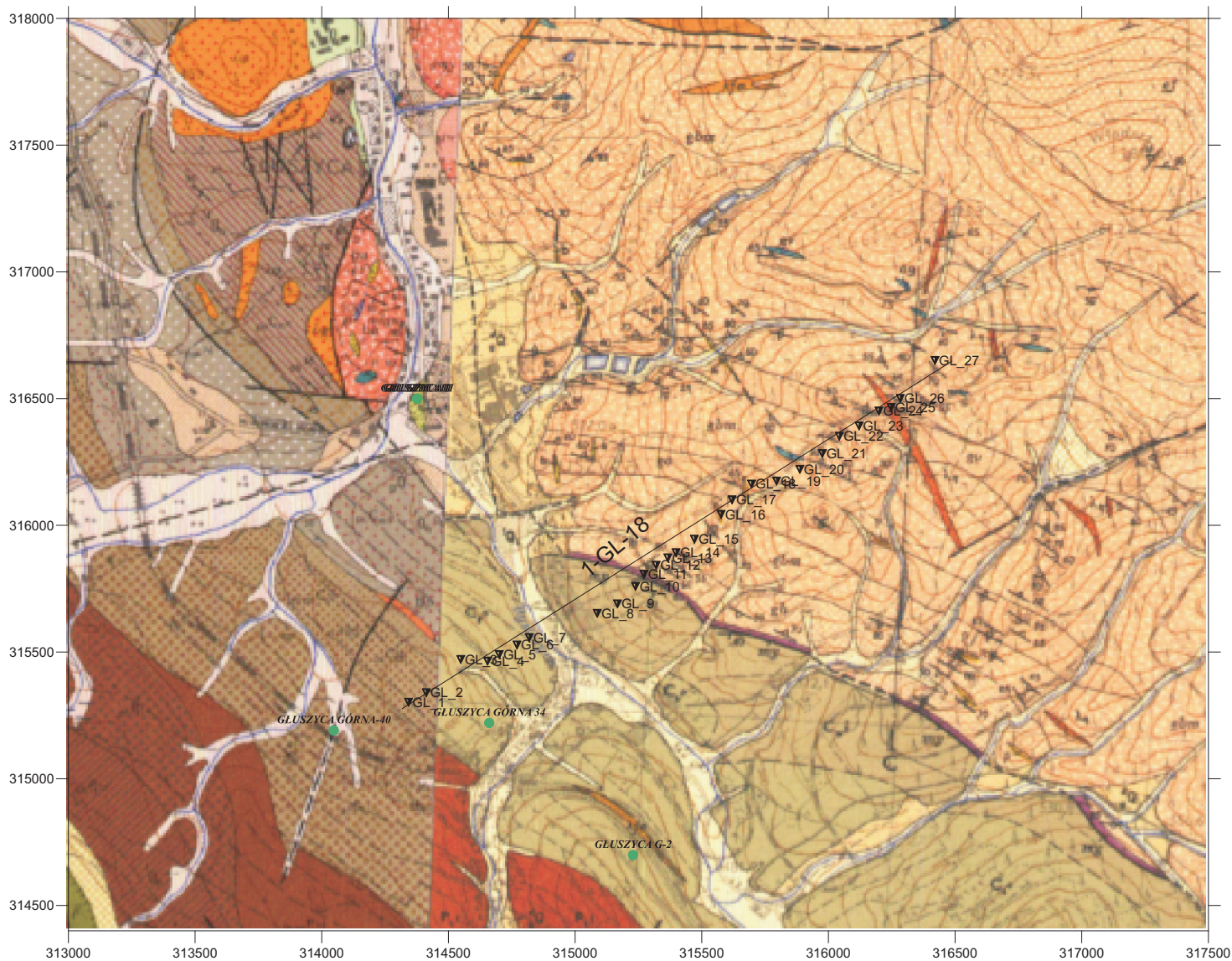


**Figura 3.7.7.1.** Lokalizacja sondowań magnetotellurycznych na tle mapy topograficznej podkład-Mapa Topograficzna Polski źródło:<http://mapy.geoportal.gov.pl/wss/service/img/guest/TOPO/MapServer/WMSServer> -rejon badań –Głuszyca, skala 1:25 000



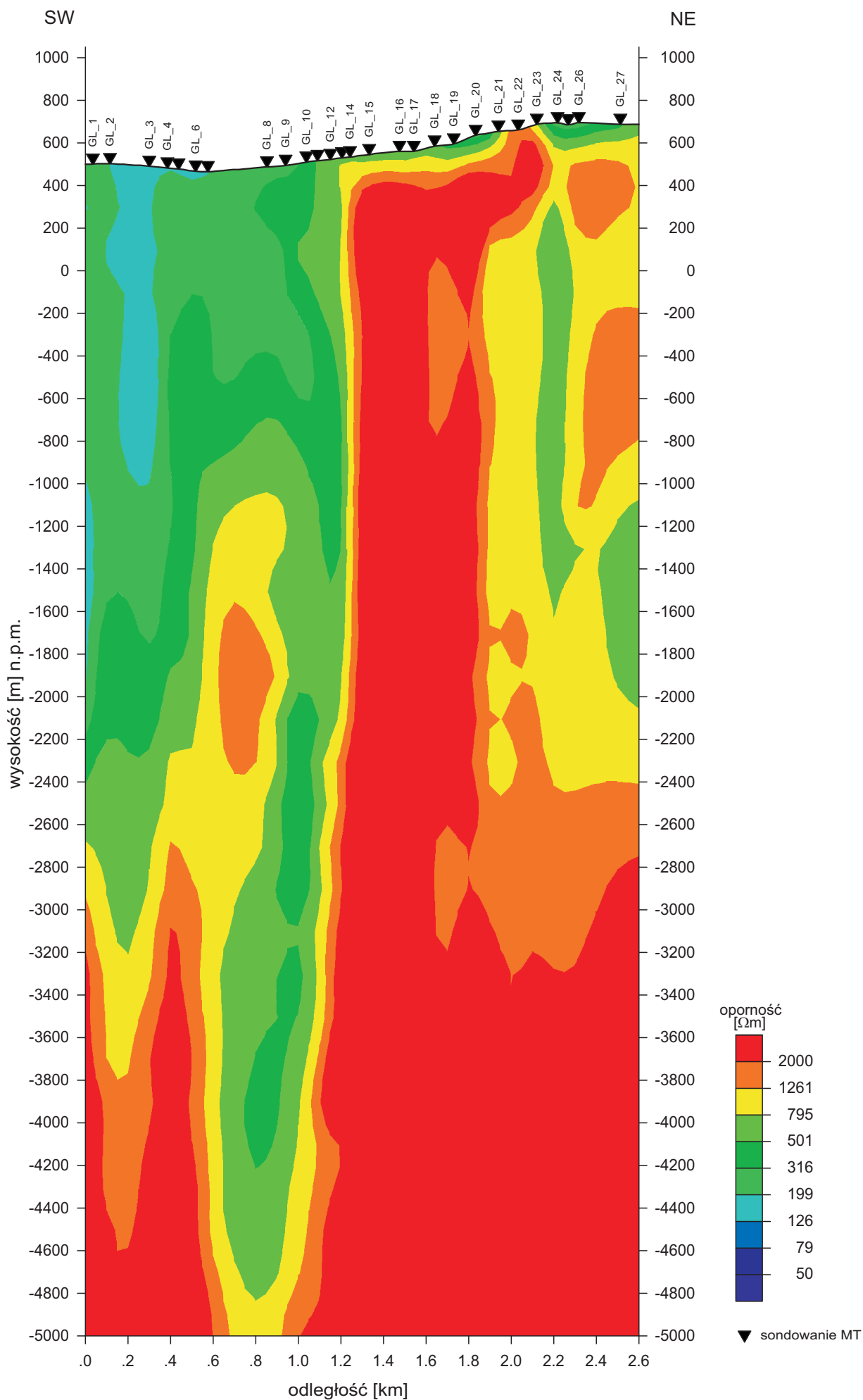


#### OBJAŚNIENIA BARW I SYMBOLI

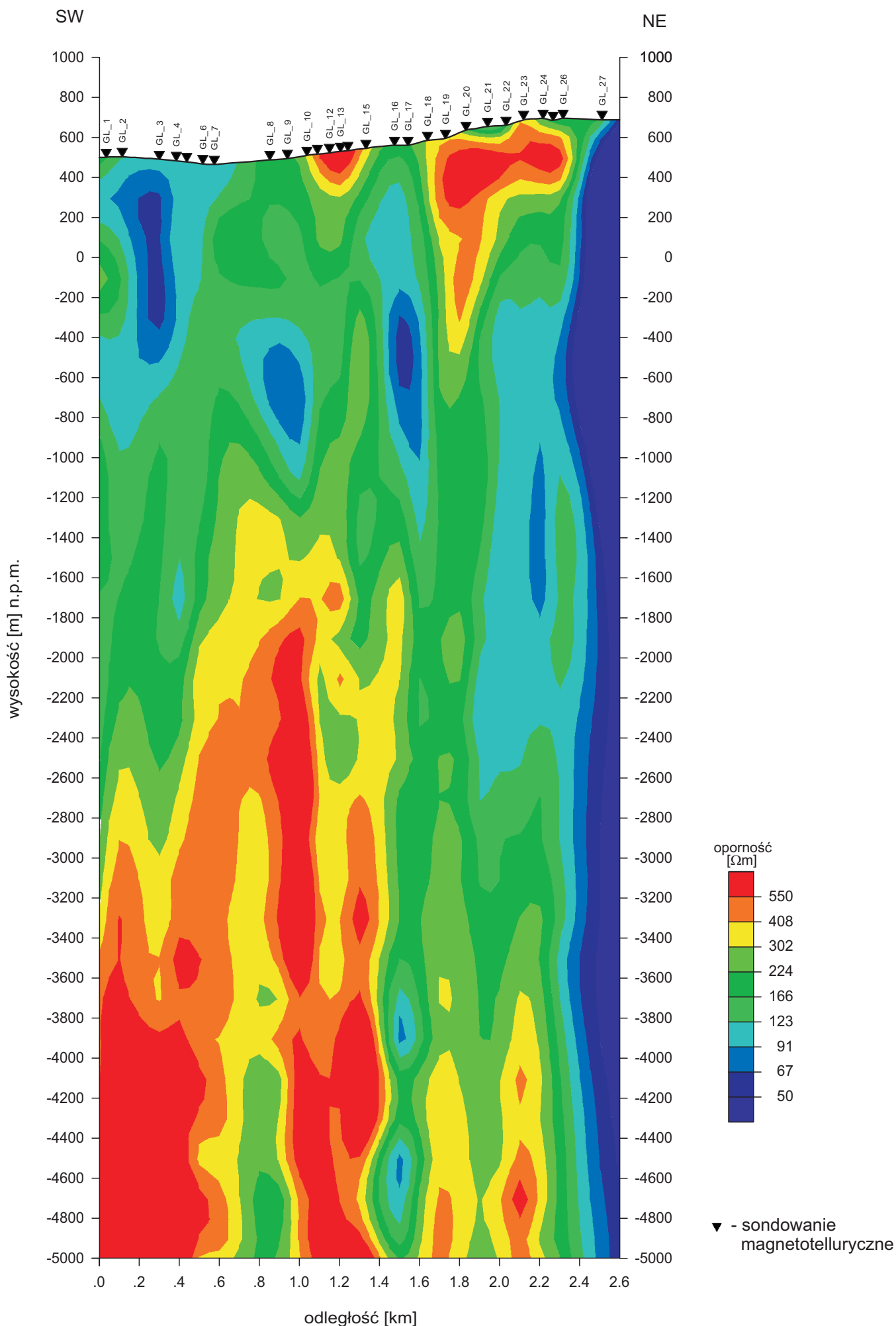
	Osady rzeczne w ogólności
	Porfiry kwarcowe
	Zlepieńce, piaskowce i łupki ilaste
	Paraamfibolity
	Mylonity gnejsowe zsylikowane
	Gnejsy biotytowe i gnejsy migmatyczne
	Piaskowce, mułowce i iłowce, podrzędne wkładki zlepieńców - ogniwo piaskowców i mułowców z Grzmiącej
	Tufy popiołowe
	Zlepieńce, piaskowce, mułowce i iłowce z pokładami węgla kamiennego - warstwy wałbrzyskie dolne

sondowanie magnetotelluryczne  
 profil magnetotelluryczny

**Figura 3.7.7.2.** Lokalizacja sondowań magnetotellurycznych na tle Szczegółowej mapy geologicznej Sudetów - rejon: Głuszyca - fragment arkuszy: M-33-45-D-c Jedlina Zdrój - opracowali: A. BOSSOWSKI, Z. CYMERMAN, A. GROCHOLSKI, A. IHNATOWICZ, 1990r. M-33-45-D-d Walim - opracował: W. GROCHOLSKI - 1956r., skala 1:25 000

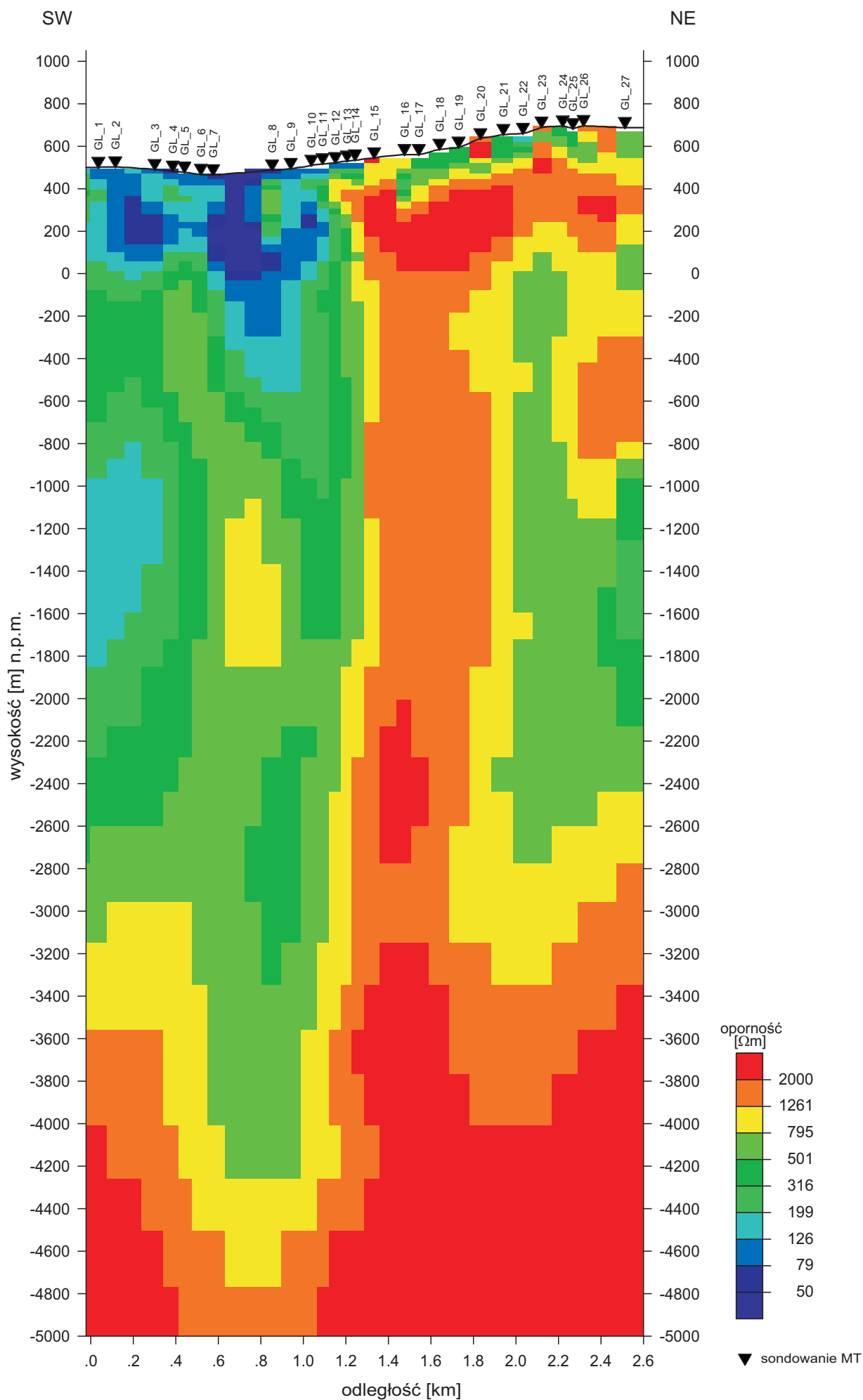


**Figura 3.7.7.3.** Rozkład oporności wzdłuż profilu 1-GL-18 Głuszycza na podstawie inwersji 1D wg algorytmu Occama dla polaryzacji magnetycznej

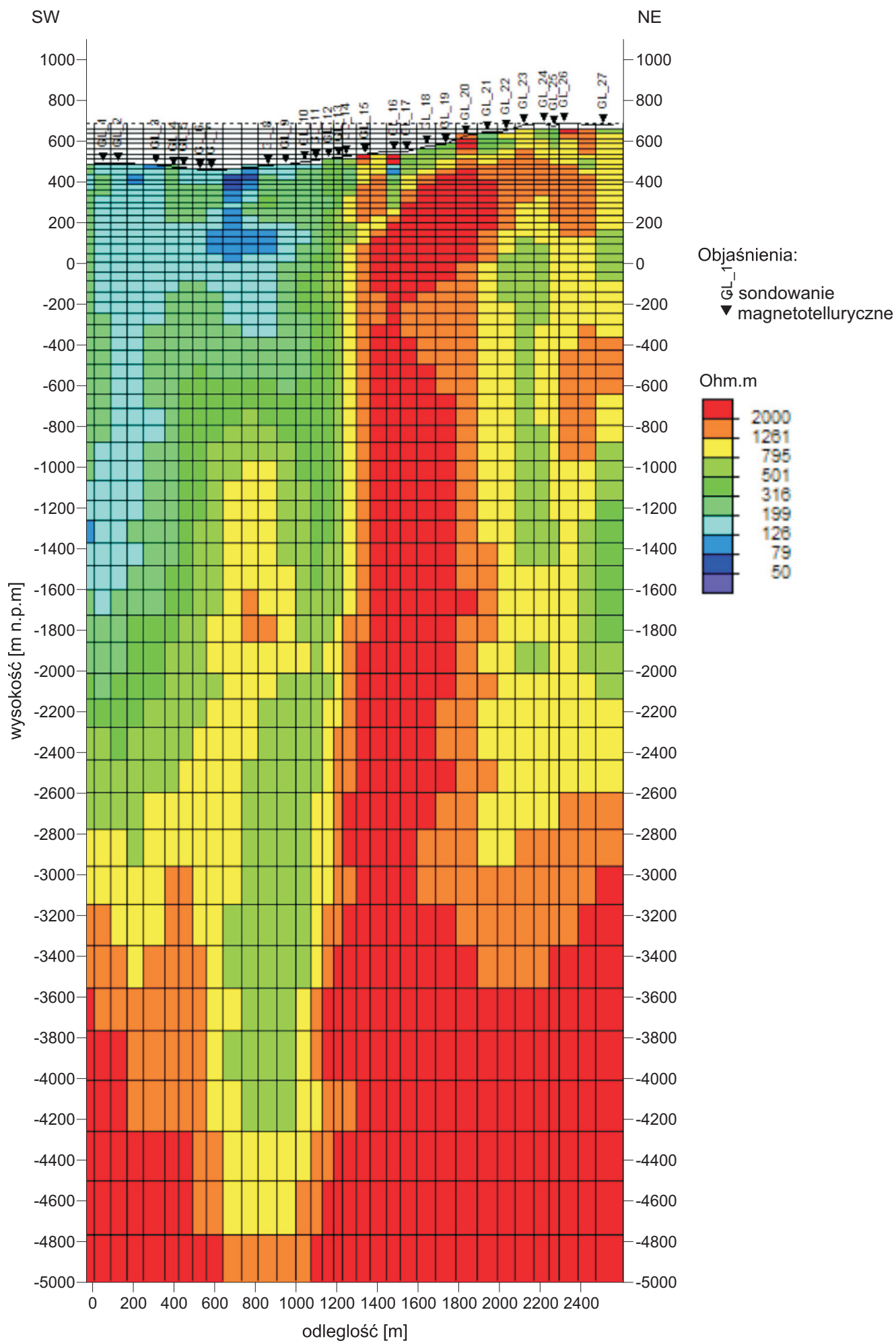


**Rys.3. 7.7.4.** Rozkład oporności wzdłuż profilu 1-GL-18 Głuszycza na podstawie inwersji 1D wg algorytmu Occama dla polaryzacji elektrycznej



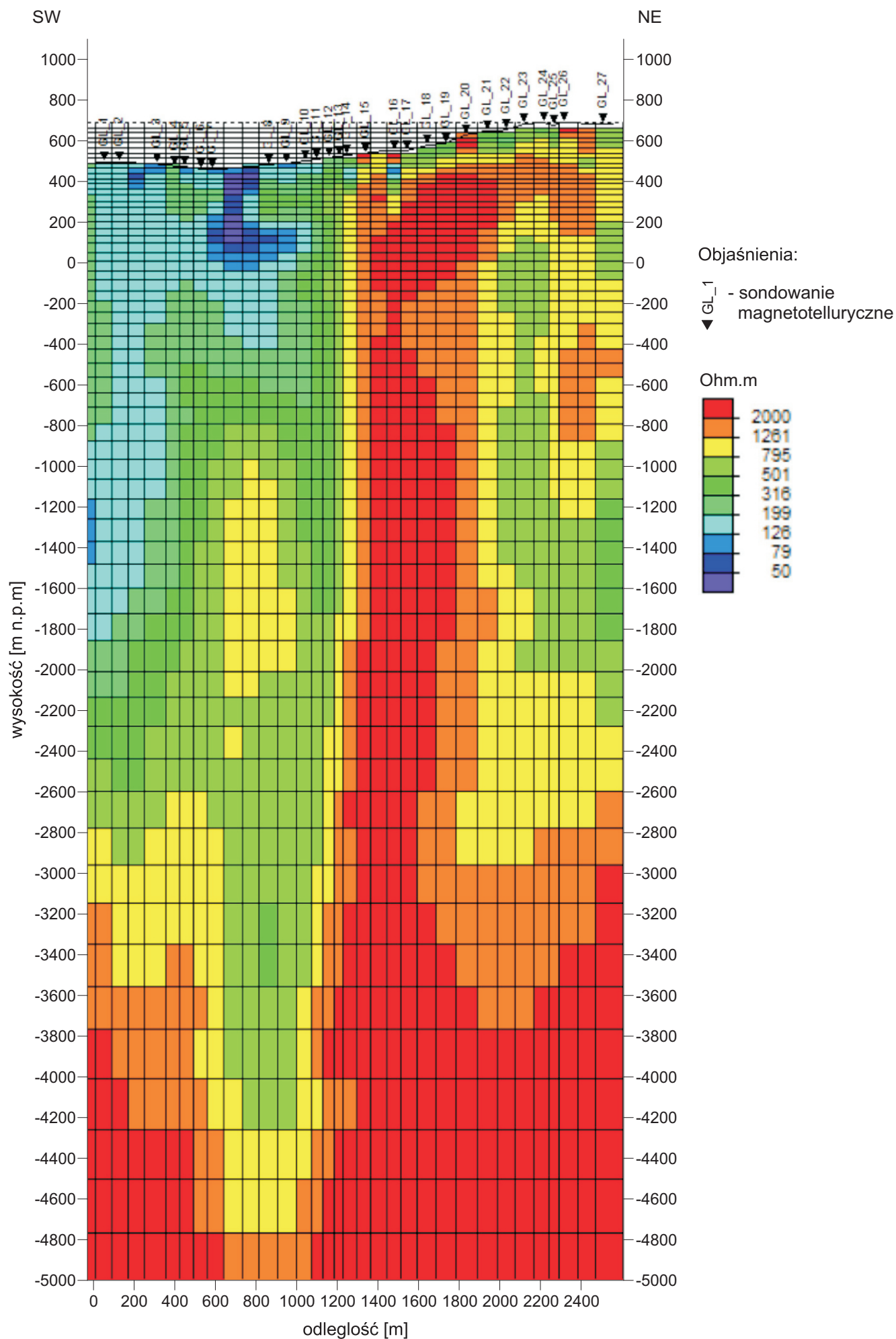


**Figura 3.7.7.5.** Rozkład oporności wzdłuż profilu 1-GL-18 Głuszycza na podstawie inwersji 2D wg algorytmu NLCCG

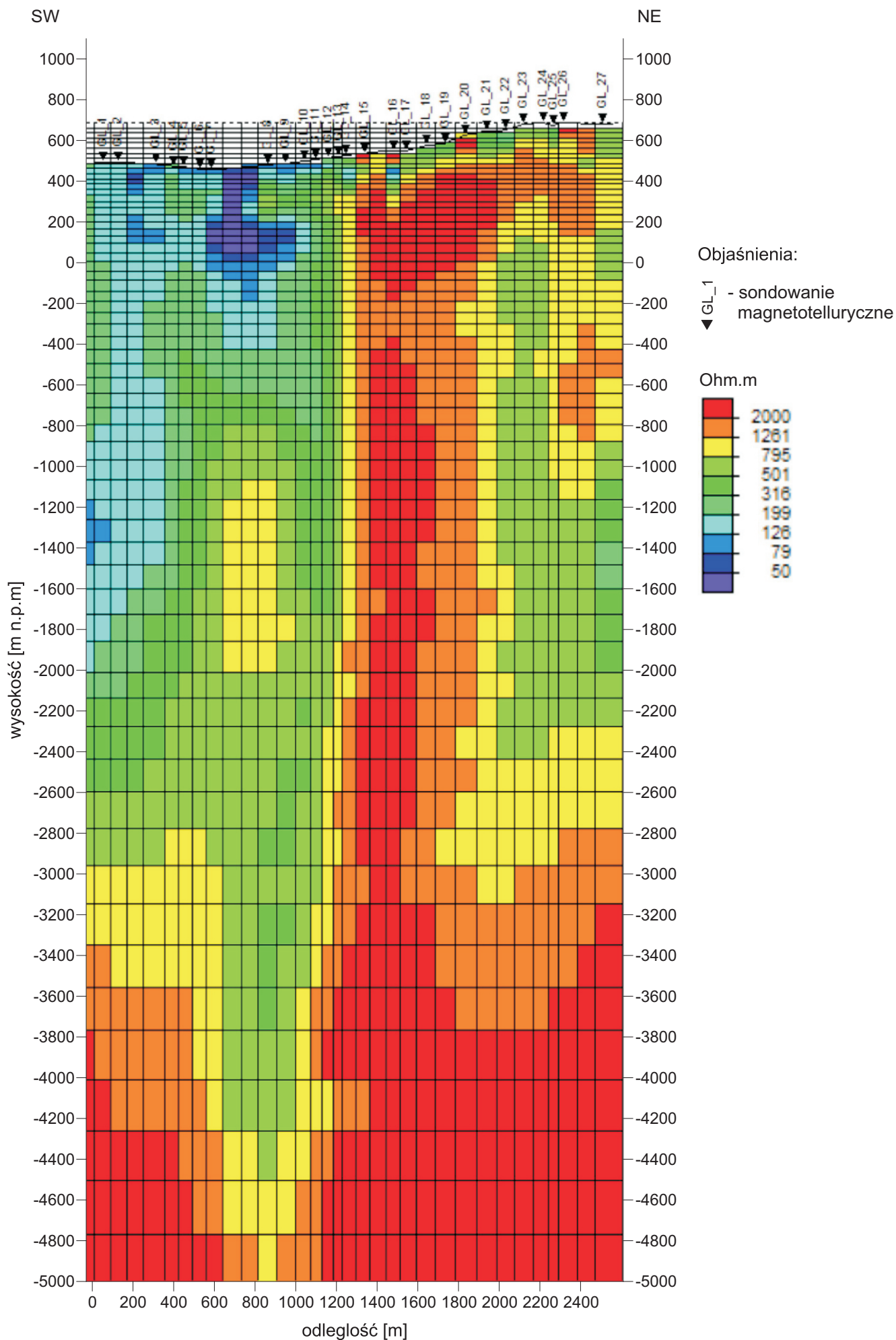


**Figura 3.7.7.5a** Rozkład oporności wzdłuż profilu 1-GL-18 Głuszyca na podstawie inwersji 2D wg algorytmu NLCG (iteracja 3)



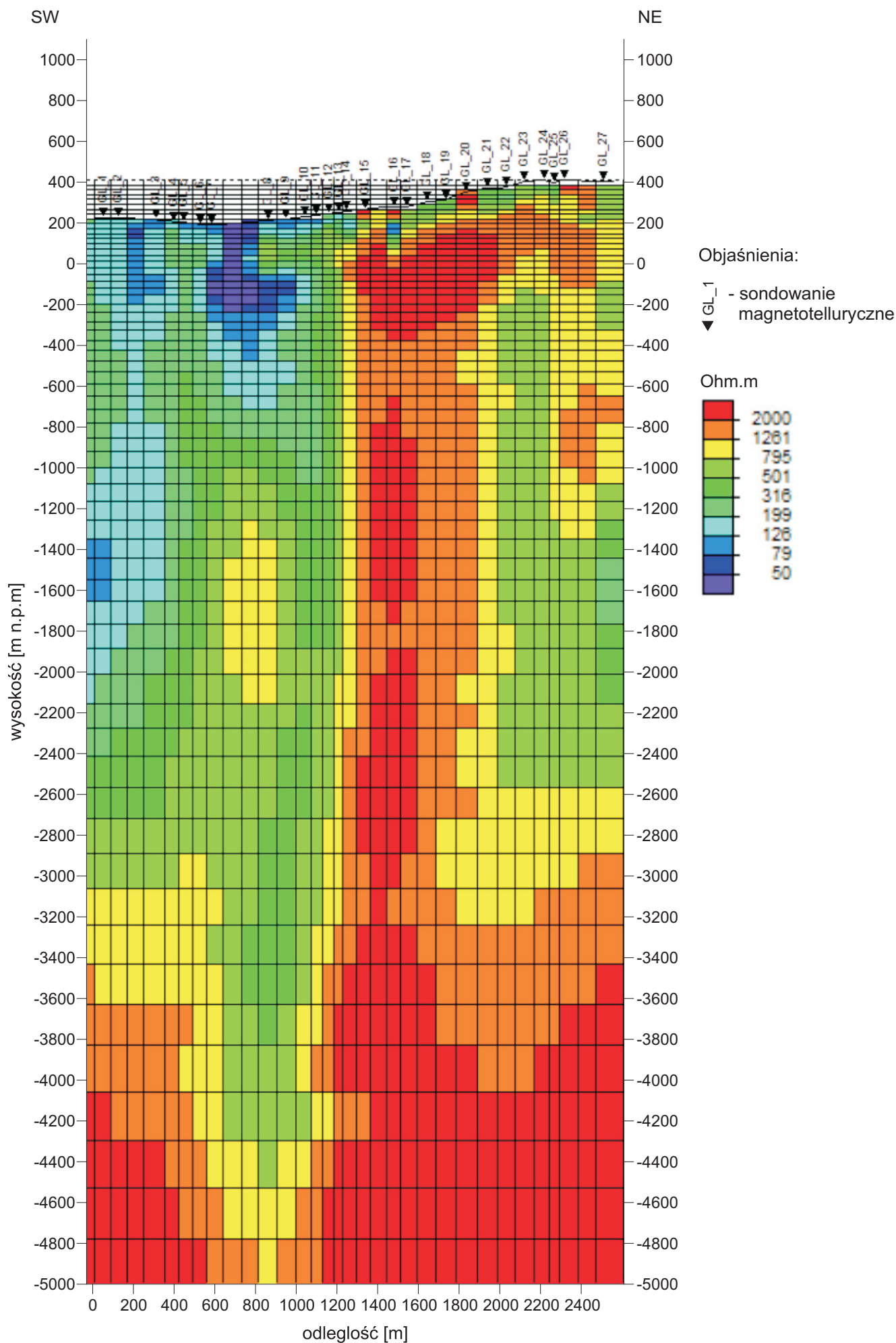


**Figura 3.7.7.5b** Rozkład oporności wzdłuż profilu 1-GL-18 Głuszyca na podstawie inwersji 2D wg algorytmu NLCCG (iteracja 6)

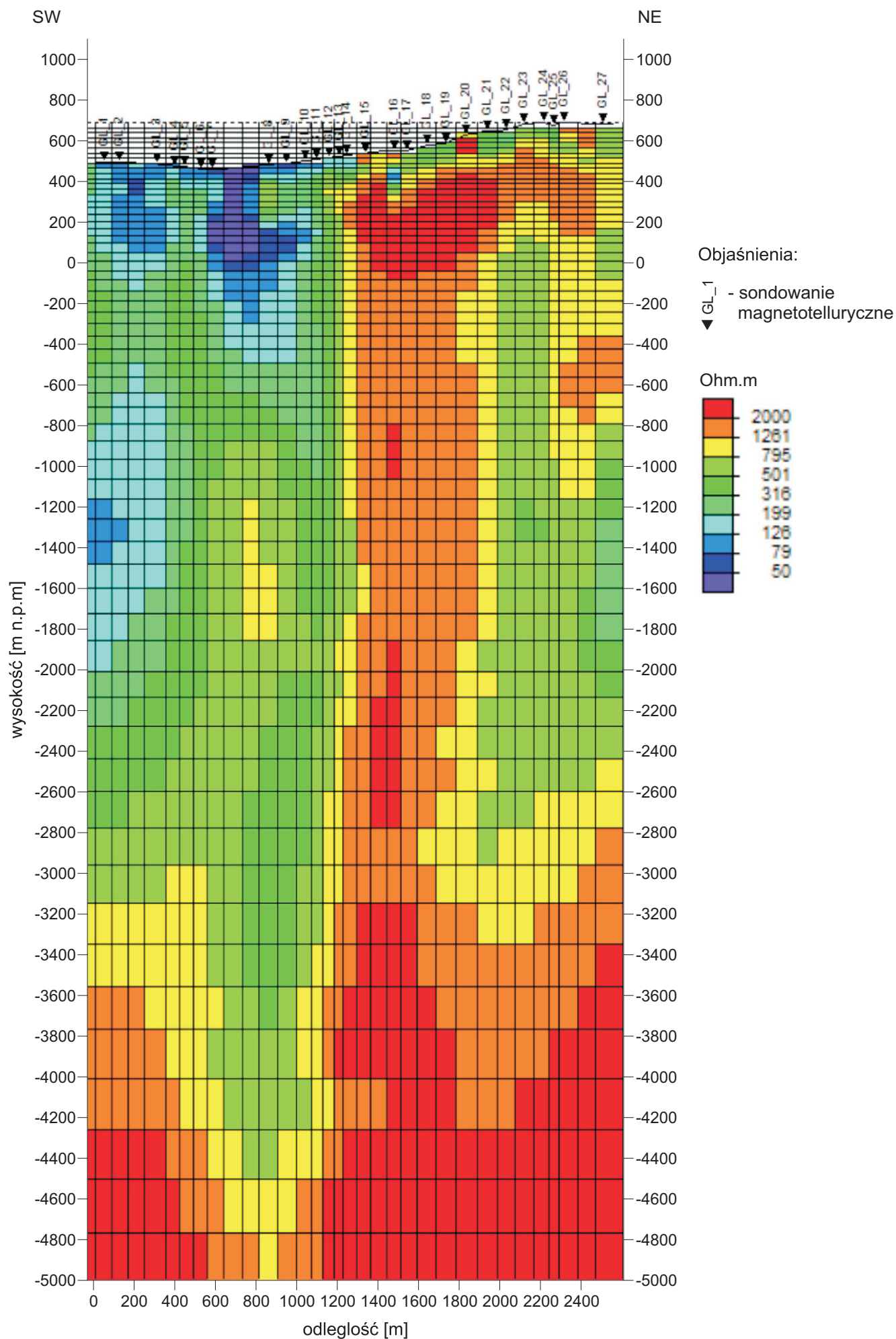


**Figura 3.7.7.5c** Rozkład oporności wzdłuż profilu 1-GL-18 Głuszycza na podstawie inwersji 2D wg algorytmu NLCG (iteracja 9)



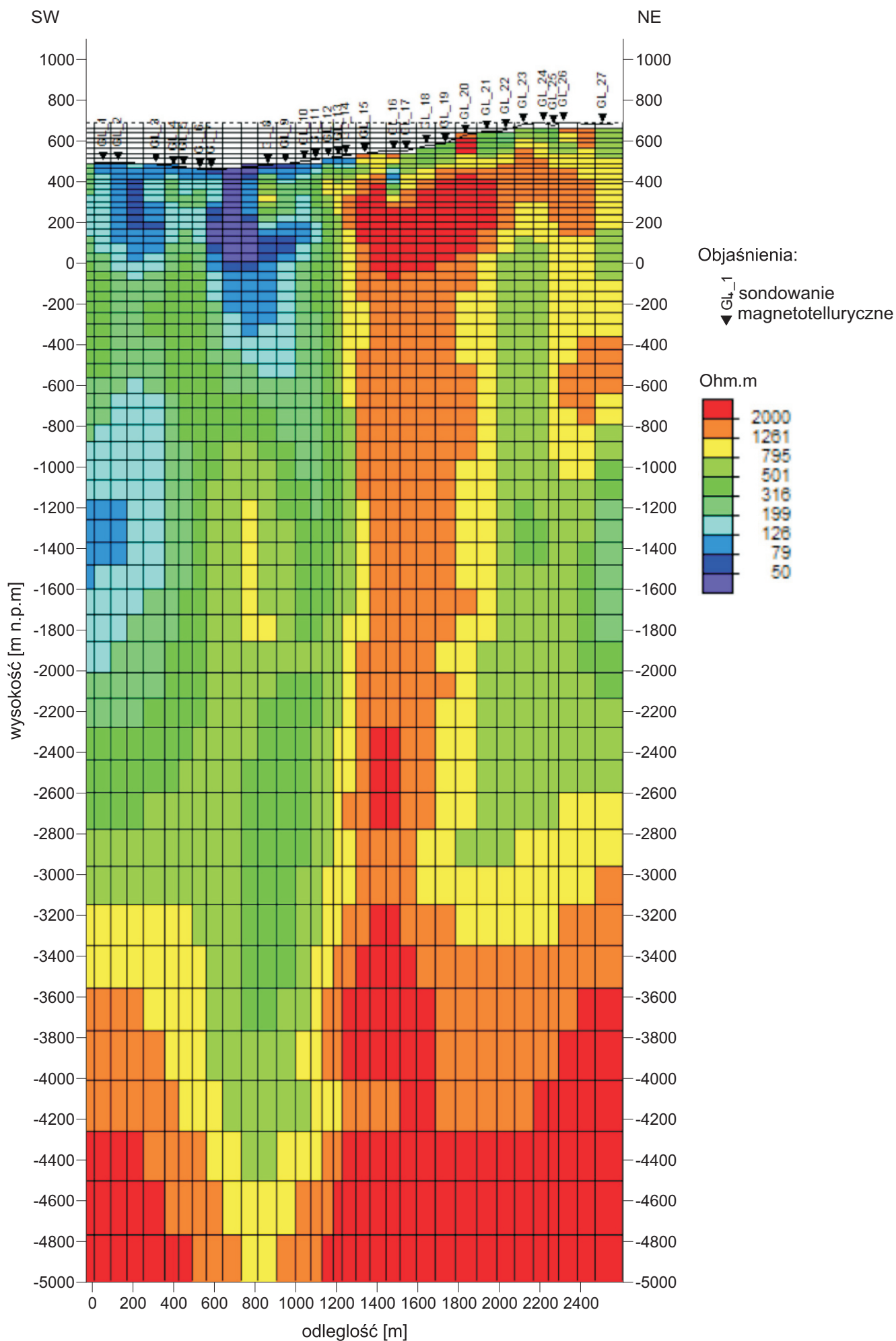


**Figura 3.7.7.5d** Rozkład oporności wzdłuż profilu 1-GL-18 Głuszycza na podstawie inwersji 2D wg algorytmu NLCG (iteracja 12)

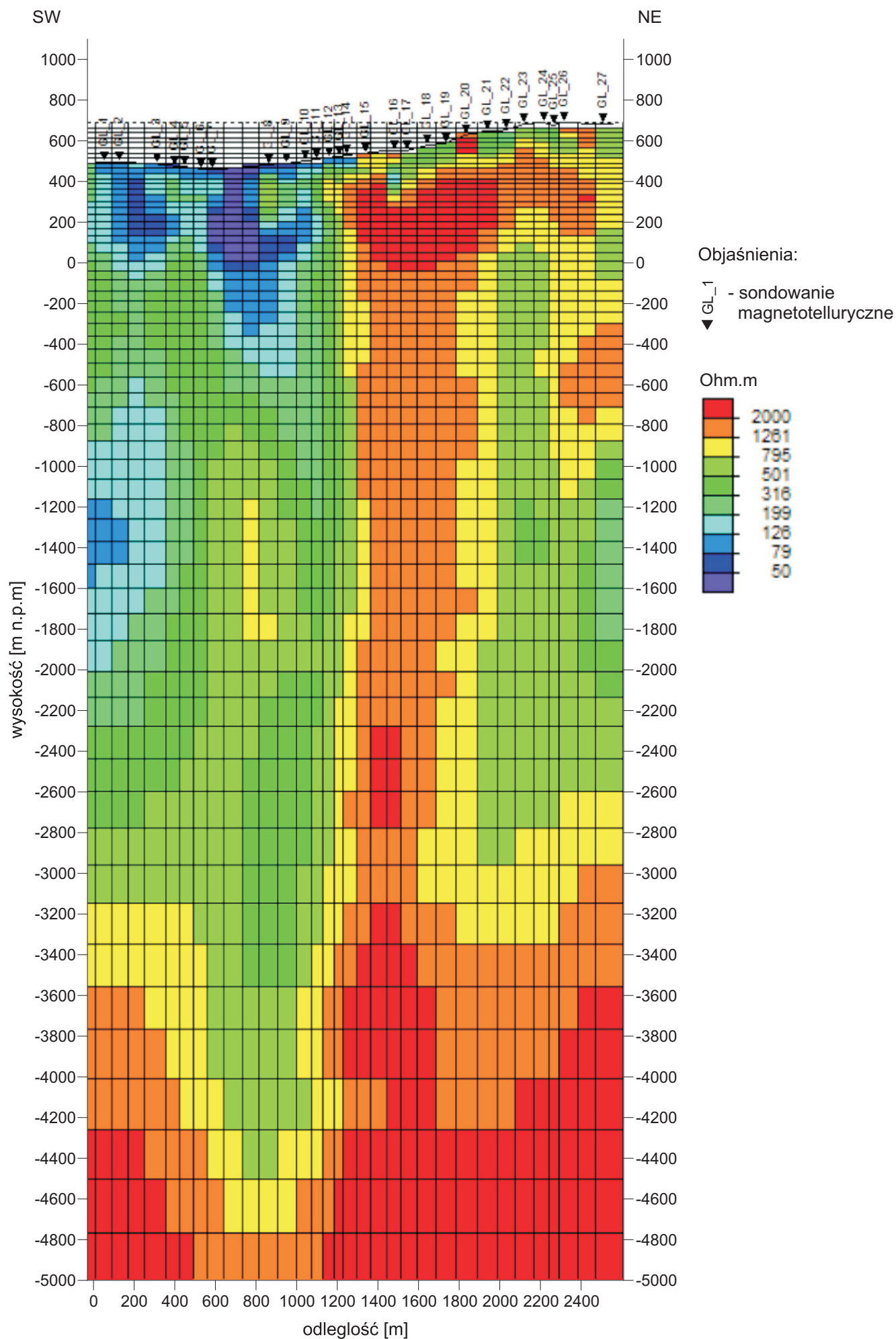


**Figura 3.7.7.5e** Rozkład oporności wzdłuż profilu 1-GL-18 Głuszyca na podstawie inwersji 2D wg algorytmu NLCG (iteracja 15)



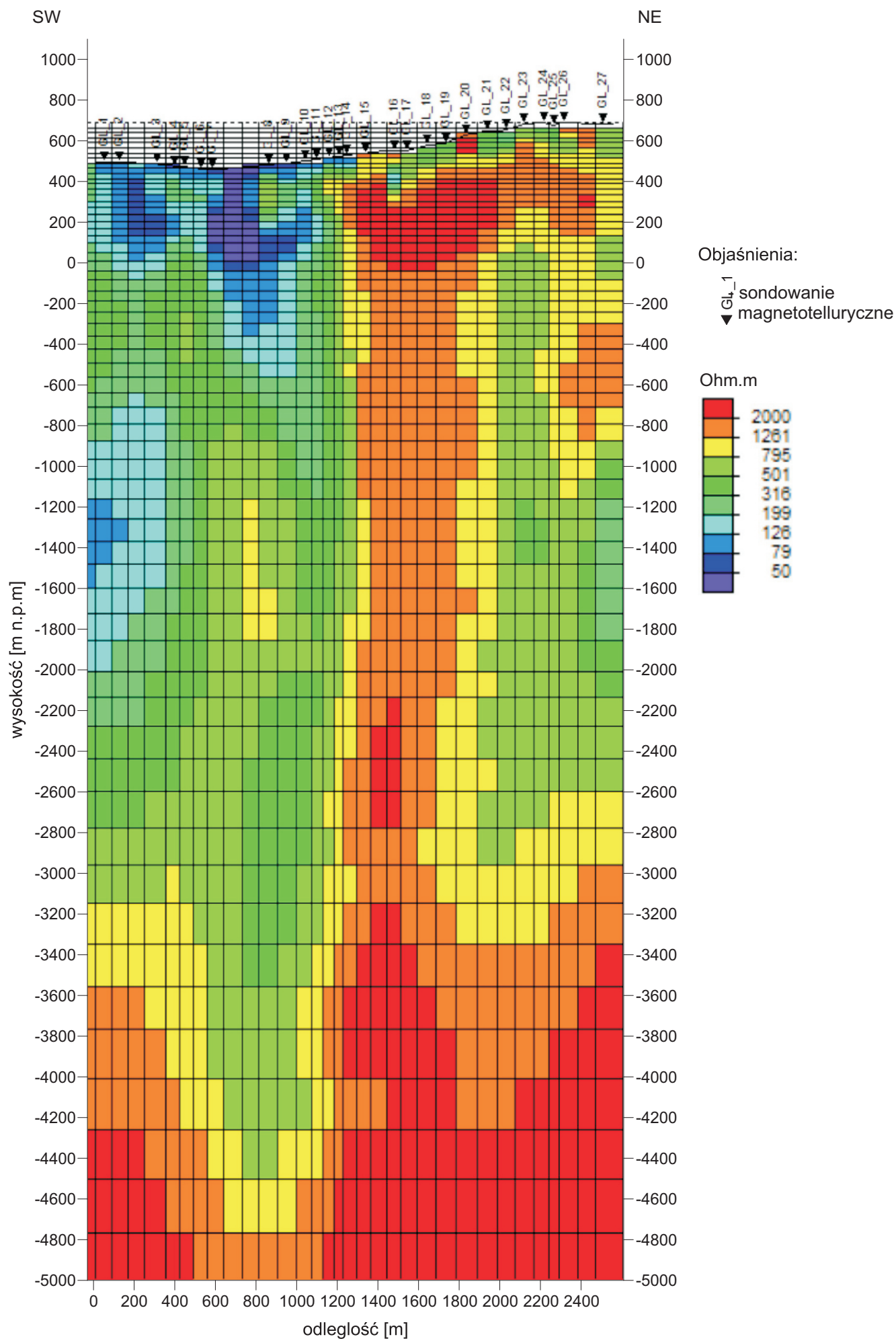


**Figura 3.7.7.5f** Rozkład oporności wzdłuż profilu 1-GL-18 Głuszycza na podstawie inwersji 2D wg algorytmu NLCG (iteracja 18)

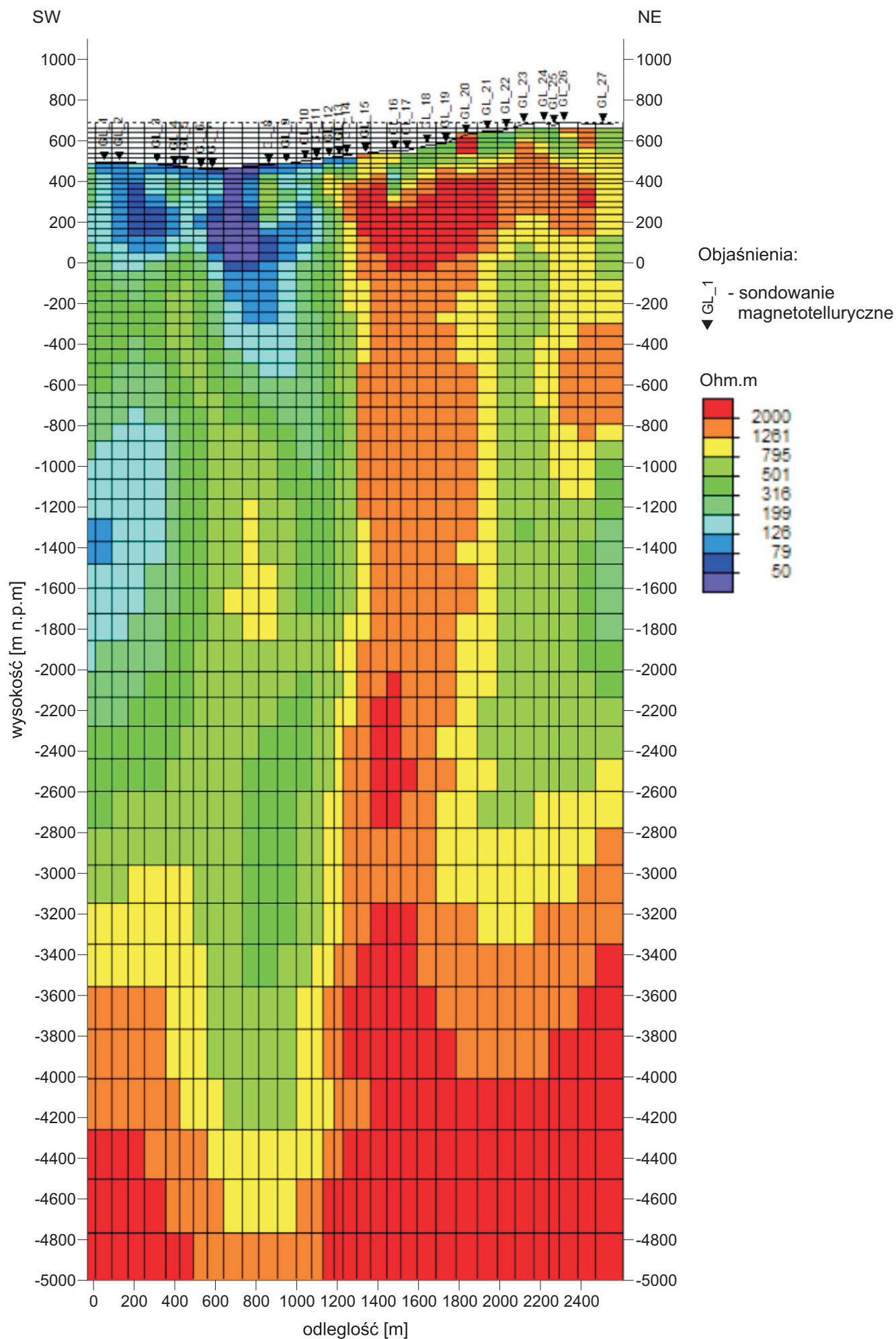


**Figura 3.7.7.5g** Rozkład oporności wzdłuż profilu 1-GL-18 Głuszyca na podstawie inwersji 2D wg algorytmu NLCG (iteracja 21)

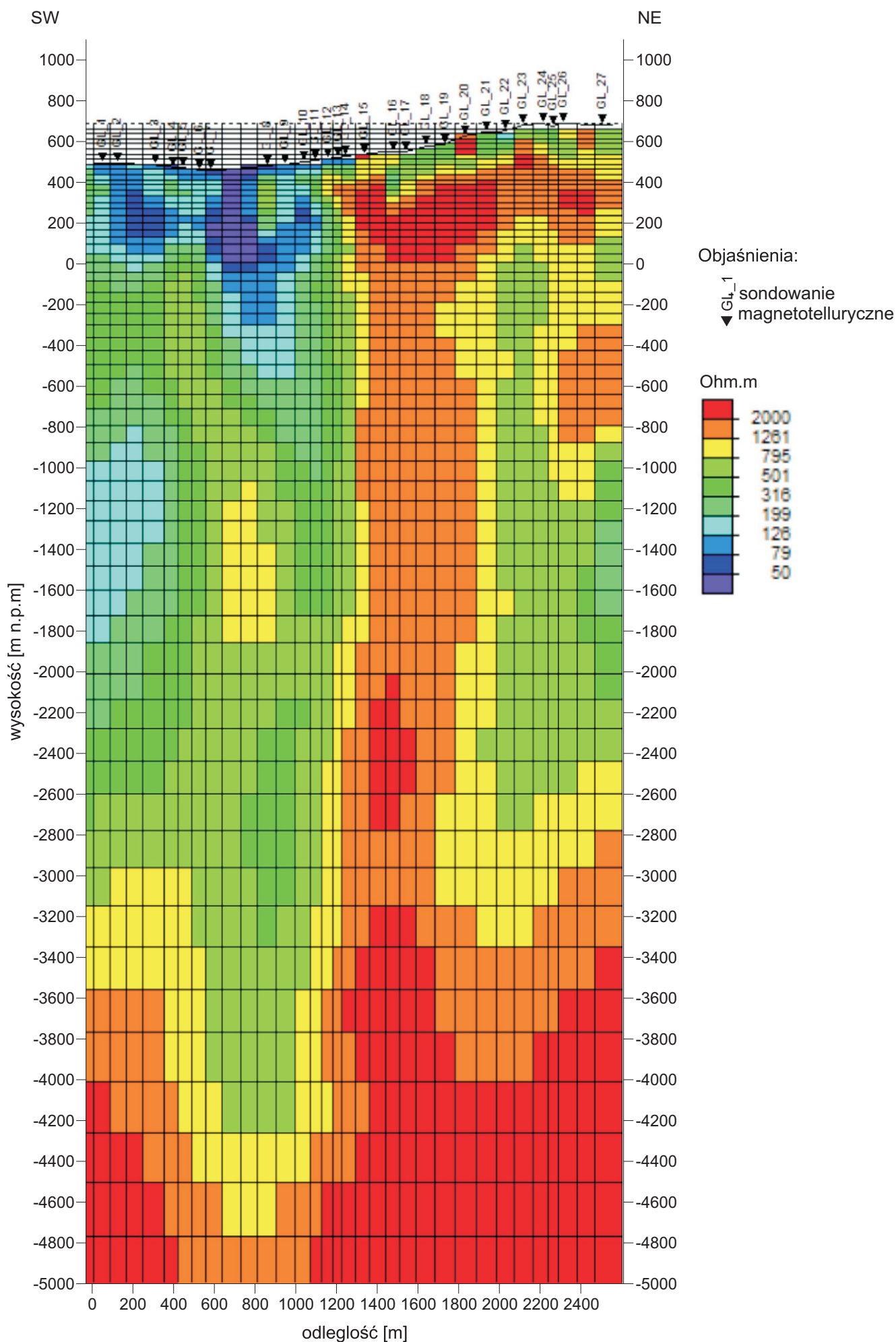




**Figura 3.7.7.5h** Rozkład oporności wzdłuż profilu 1-GL-18 Głuszyca na podstawie inwersji 2D wg algorytmu NLCG (iteracja 24)



**Figura 3.7.7.5i** Rozkład oporności wzdłuż profilu 1-GL-18 Głuszycza na podstawie inwersji 2D wg algorytmu NLCG (iteracja 27)



**Figura 3.7.7.5j** Rozkład oporności wzdłuż profilu 1-GL-18 Głuszycza na podstawie inwersji 2D wg algorytmu NLCG (iteracja 30)



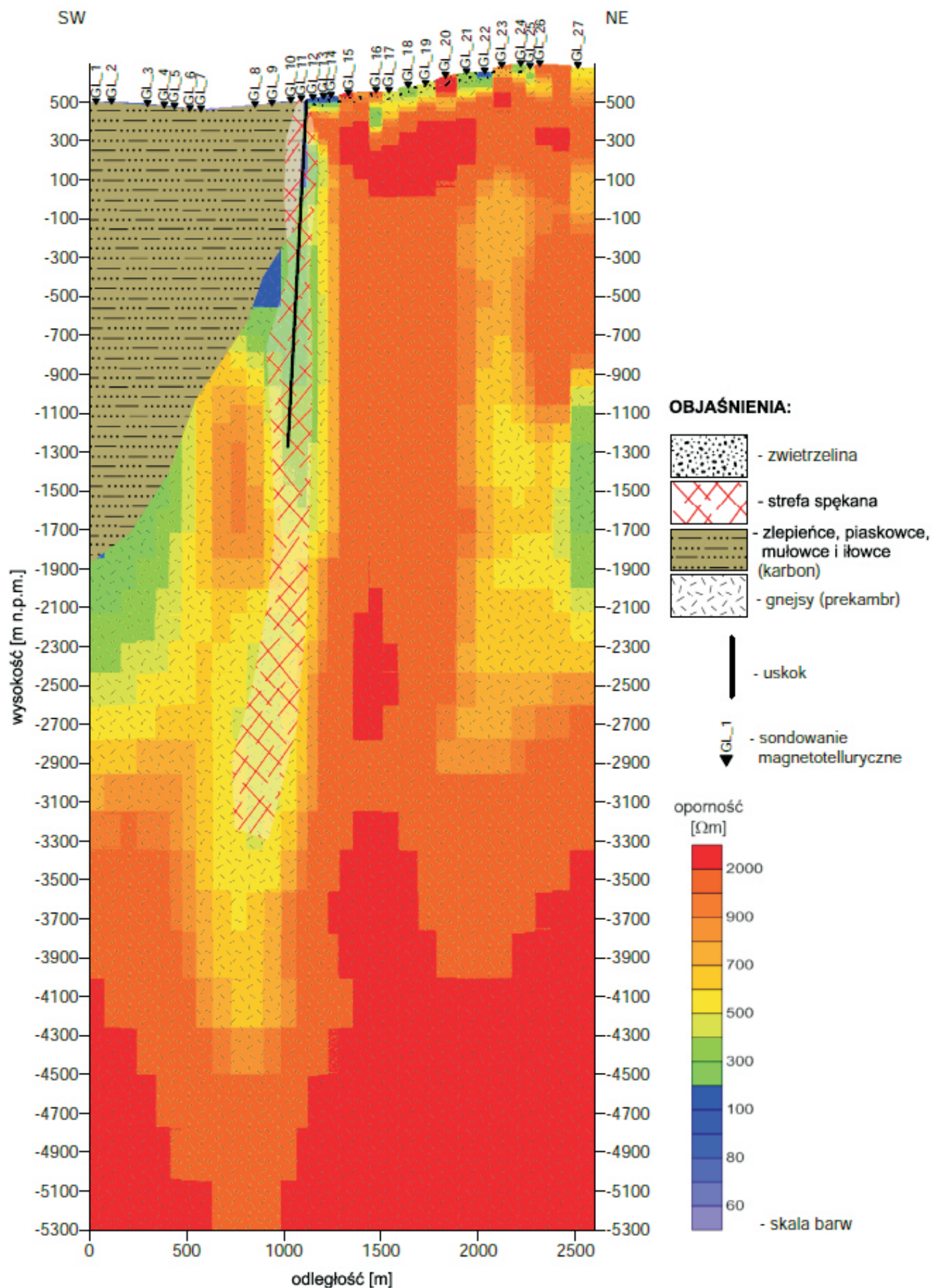


Figura 3.7.7.6. Interpretacja geologiczna wzdłuż profilu 1-GL-18 Głuszycza wykonana na podstawie rozkładu oporności uzyskanego w wyniku inwersji 2D wg algorytmu NLCG oraz danych geologicznych